

7. SNÍMANIE POLOHY

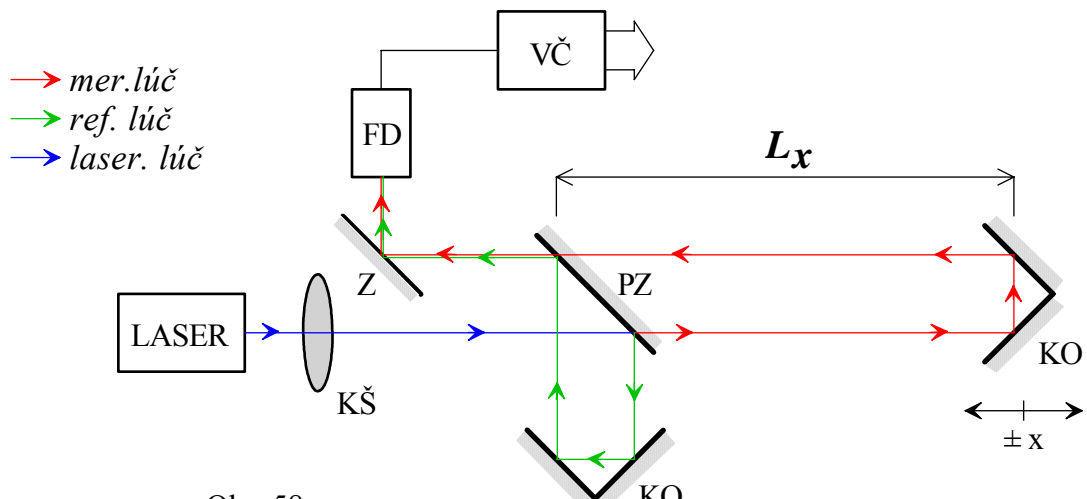
Snímanie polohy - väčšie vzdialenosť.

- optické - laserové (interferenčné)
 - impulzné (inkrementálne, absolútne)
- magnetické - magnetostriktívne
 - magnetické (impulzné)
 - LVDT snímače
- ultrazvukové (meranie vzdialenosťí)
- kapacitné (zmena S)

7.1. Optické princípy

7.1.1. Laserové (interferenčné)

- interferencia merného a ref. lúča
- rozliš. schopnosť až $\lambda/8$ (He - Ne \rightarrow 80 nm)



KŠ - kolimačná šošovka

KO - kútový odrážač (namiesto zrkadla) - zachováva smer odrazu i pri odchýlení

L_x - meraná vzdialenosť

Z, PZ - zrkadlo, polopriepustné zrkadlo

FD - fotodetektor

VČ - vratný čítač

7.1.2. Impulzné snímanie polohy - inkrementálne

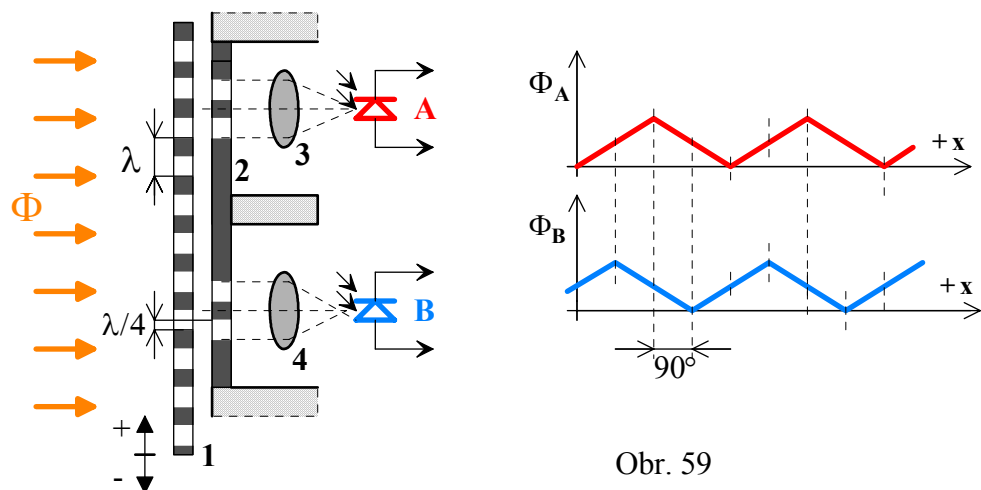
Vychádza z nulovej polohy, počet impulzov krát λ

- malý krok λ - vyššia presnosť

- určenie smeru pohybu
- pripočítanie - odpočítanie impulzov → vratný čítač

Optické mriežky

- menšia λ → vyššia presnosť
- inkrementálna (prírastková) metóda
- smer pohybu - dve sústavy mriežok, **posun o $\lambda/4$**
- počet štrbín do 2500 na priemere cca 10 cm (*pre rotačný systém*)

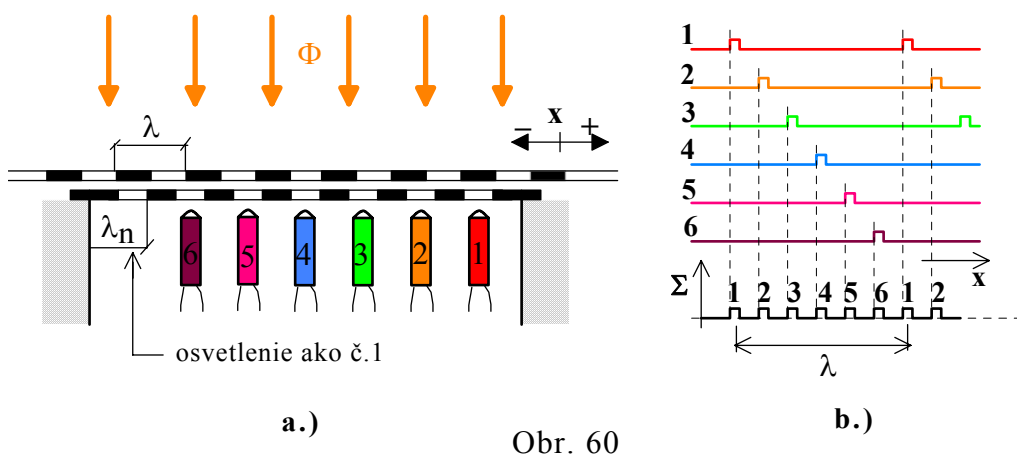


Obr. 59

1 - pohyblivá mriežka
2 - pevné mriežky
 Φ_A a Φ_B - svetelné toky na fotodetektorech A, B
3, 4 - šošovky
A,B - fotodetektory

Nóniové mriežky

- ♦ ďalšie zjednodušenie kroku
- ♦ **nerovnaké delenie** - iné λ na pevnej, iné λ na pohyblivej časti, obr. 60



Obr. 60

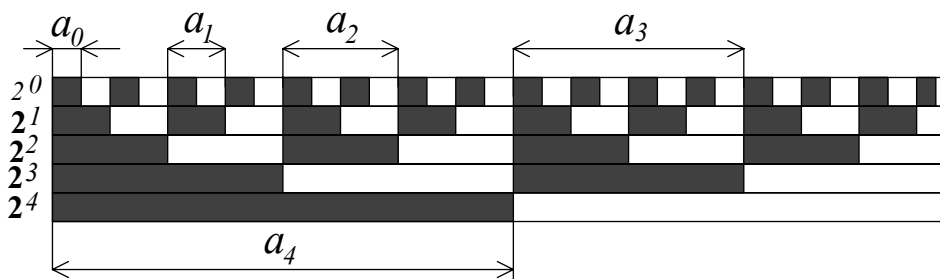
- vyhodnocuje sa **úplné zatemnenie** fotoelementu.
- v rámci posunu o λ získame n impulzov

$$\lambda_n = \lambda \frac{n-1}{n} \quad \text{kde } n \text{ je počet impulzov na dĺžke } \lambda$$

7.1.3. Impulzné snímanie polohy - absolútne

- v každej polohe priamo presná, absolútна poloha
- binárny, alebo Grayov kód

Príklad delenia pravítka je na obr. 61

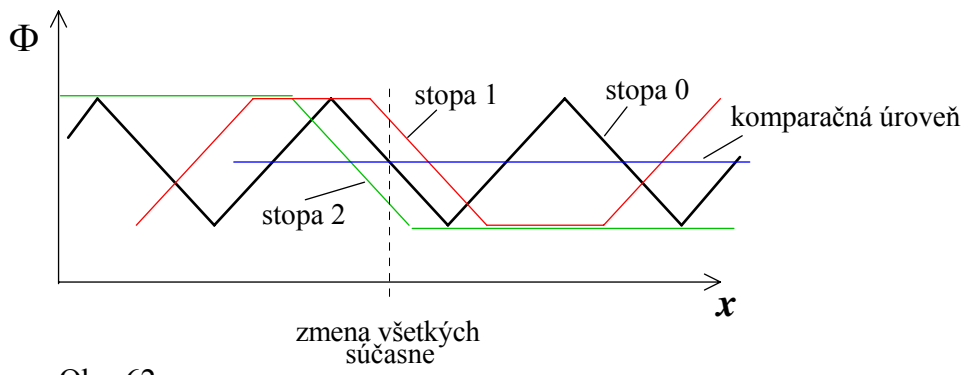


Obr. 61

Počet stôp je vyjadrený : $n = \frac{\log L - \log \Delta s}{\log 2}$ L - dĺžka merítka
 Δs - dĺžka kroku (a_0)

Snímanie signálov

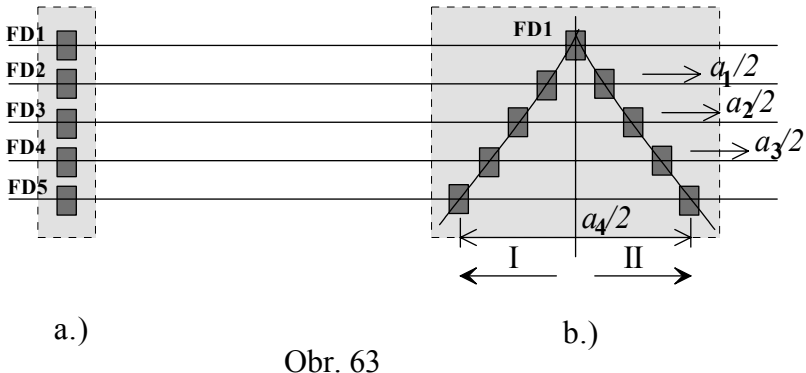
Priebeh svetelného toku (signál fotodetektora) - možný posun (nepresnosť) je na obr. 62



Obr. 62

Zmena viacerých rádov naraz - problém, vznikajú **krátkodobo vadné kombinácie**

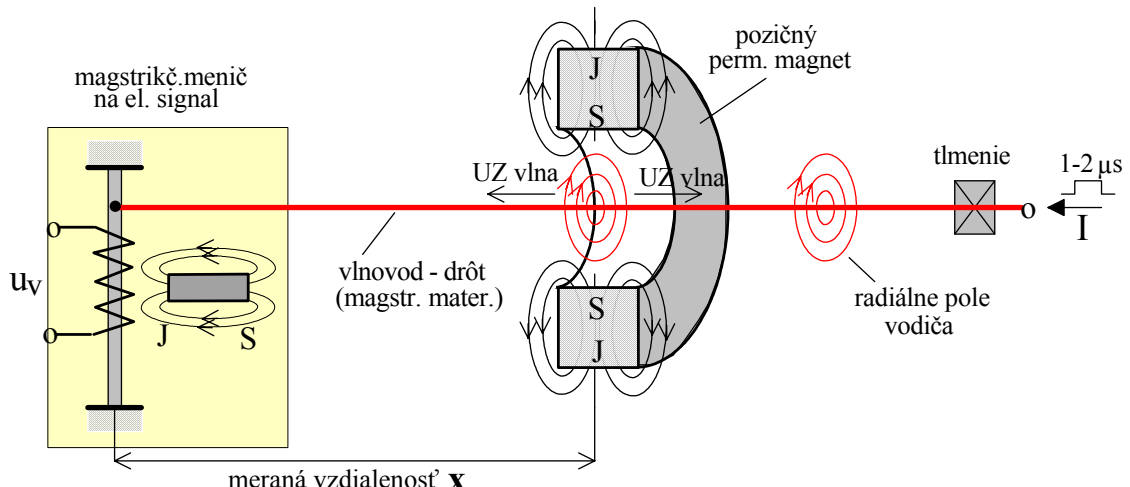
- ◆ **snímanie normálne (priame)** keď sú fotodetektory v rade (obr.63a)
 - ◆ zložitejší, ale lepší je tzv. "**V**" systém (obr.63b.)



7.2. Magnetické princípy

7.2.1. Magnetostričný snímač polohy

- ◆ snímanie väčších dĺžok (do 4m)
 - ◆ využíva dobu šírenia UZ vlny v magnetostrikčnom materiáli



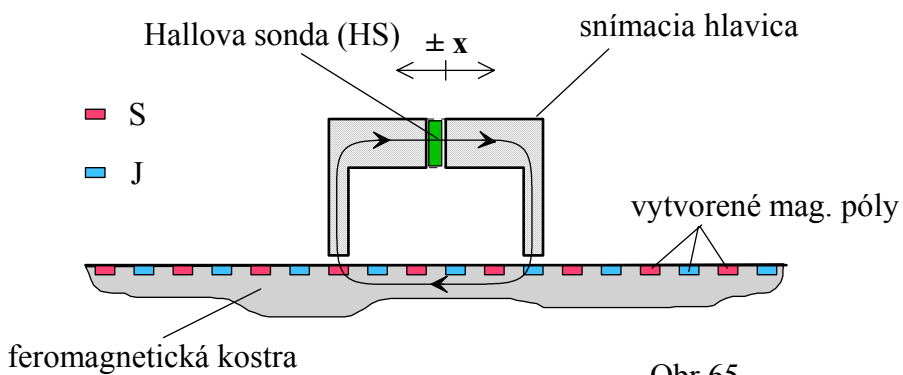
Obr. 64

- vlnovod - drôt z magnetostrikčného materiálu
 - krátky prúdový impulz → radiálne magnetické pole
 - s meraným objektom sa pohybuje **pozičný permanentný magnet** (toroid)
 - v mieste magnetu → silové pôsobenie polí (Wiedemannov jav)
 - **mechanický torzný impulz** - ultrazvuková vlna
 - po prebehnutí X získame elektrický signál (impulz)

- vzdialenosť z doby prebehu vlny (3000 m/s)
- začiatok - vznik mech. skrutu
- koniec - príchod vlny (výst. impulz z meniča)

7.2.2. Magnetické impulzné snímanie polohy

- inkrementálne meranie
- dlhé kovové časti - obrábacie stroje
- vytvorené mag. zóny (nahratie)
- snímanie Hallovou sondou - dve pre smer pohybu



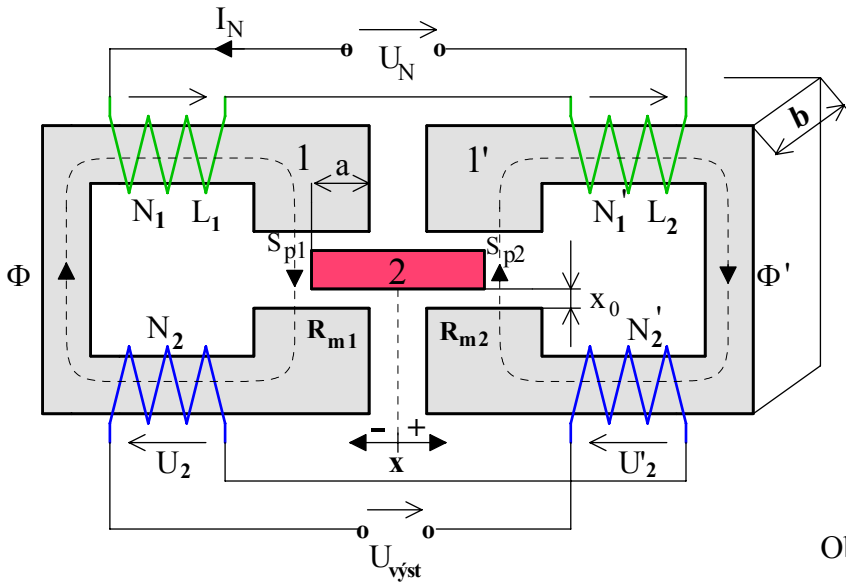
Obr.65

- nahrávanie - namiesto HS je cievka s prúdovými impulzami
- lepšie sa póly nahrajú do lišty zo špec. materiálu

7.2.3. Transformátorové snímače

- ♦ LVDT (LVDT - Linear Variable Differential Transformer)
- ♦ aktívny senzor, výstup je $\sim U$ úmerné x
- ♦ 2, 3, alebo 4 vinutia
- ♦ väčší rozsah (10-ky mm) - zmena plochy vzd. medzery

Na obr.66. je diferenciálny systém pre väčšie rozsahy pohybu (10- ky mm)



Obr.66.

Prevod odvodíme z indukovaného napäťa (efekt. hodnoty) na sekundáre :

$$U_v = U'_2 - U_2 = \omega N_2 (\Phi' - \Phi) = \omega N_2 N_1 I_N \left(\frac{1}{R_{m2}} - \frac{1}{R_{m1}} \right)$$

Treba si odvodiť ďalej vzťahy pre prúd I_N a odpory R_{m1} a R_{m2} . Podľa kótovania na obr.66 je prierez vzd. medzery :

$$S_{p1} = b(a - x), \quad S_{p2} = b(a + x)$$

Potom mag. odpory : (predpokladali sme, že $N_1 = N_1'$ a $N_2 = N_2'$)

$$R_{m1} = \frac{1}{\mu_0} \frac{2x_0}{S_{p1}} \quad \text{a} \quad R_{m2} = \frac{1}{\mu_0} \frac{2x_0}{S_{p2}} \Rightarrow L_1 = \frac{N_1^2}{R_{m1}}, \quad L_2 = \frac{N_1^2}{R_{m2}},$$

Výraz v zátvorke:

$$\left(\frac{1}{R_{m2}} - \frac{1}{R_{m1}} \right) = \frac{\mu_0 S_{p2}}{2x_0} - \frac{\mu_0 S_{p1}}{2x_0} = \frac{\mu_0}{2x_0} (ba + bx - ba + bx) = \frac{\mu_0 2bx}{2x_0} = \frac{\mu_0 b}{x_0}$$

Vst. cievky sú v sérii, L_1 a L_2 sa teda sčítajú

$$L_1 + L_2 = N_1^2 \left(\frac{1}{R_{m1}} + \frac{1}{R_{m2}} \right) = N_1^2 \left(\frac{\mu_0 S_{p1}}{2x_0} + \frac{\mu_0 S_{p2}}{2x_0} \right),$$

$$= N_1^2 \frac{\mu_0}{2x_0} (ba - bx + ba + bx) \quad \text{a po úprave} \quad L_1 + L_2 = \frac{N_1^2 \mu_0 b a}{x_0}$$

Zo vzťahu vidieť, že výsledná indukčnosť zostáva konštantná (nezávisí od x). Potom prúd I_N :

$$I_N = \frac{U_N}{\omega(L_1 + L_2)} = \frac{U_N}{\omega} \frac{x_0}{N_1^2 \mu_0 b a}$$

Dosadením za prúd I_N a zátvorku s odporom R_{m1}, R_{m2} do rovnice pre U_v máme :

$$U_v = \omega N_2 N_1 \frac{U_N}{\omega} \frac{x_0}{N_1^2 \mu_0 b a} \left(\frac{\mu_0 b x}{x_0} \right)$$

po úpravách

$$U_v = \frac{U_N}{a} \frac{N_2}{N_1} x$$

Na zosilnenie vplýva :

- napájacie napätie U_N (efektívna hodnota)
- rozmer "a" (súčasne určuje rozsah)
- transformačný pomer - počty závitov
- prevod je lineárne závislý od x

Poznámka: Vzťah celkom neplatí pre krajné polohy (rozptyl).

Skutočné konštrukcie

Systémy s tzv. **malou vzduchovou medzerou**

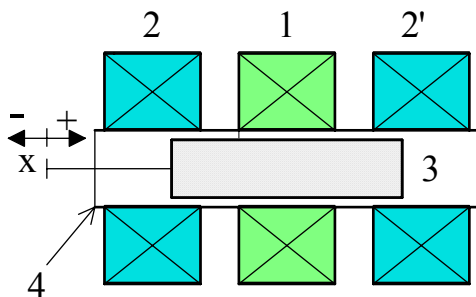
Magnetický tok vzduchom je sústredený do presne definovanej oblasti.

- ◆ sú rozmernejšie a ťažšie
- ◆ presnejšie
- ◆ nevyžarujú do okolia
- ◆ nie sú náchylné na magnetické rušenie
- ◆ uzavreté typy, rotačné, zložené z plechov, výnimcoľne z feritu

Systémy s **otvoreným magnetickým obvodom** (obr.67.)

Feromagnetický materiál tvorí iba časť obvodu, väčšia časť silociar sa uzatvára vzduchom.

- ◆ väčší merací rozsah
- ◆ jednoduchšiu výrobu
- ◆ sú menšie, ľahšie
- ◆ citlivejšie na cudzie magnetické polia
- ◆ môžu byť i v miniatúrnom prevedení.



- 1- primárne vinutie
2- sekundárne vinutie
2`- sekundárne vinutie
3 - pohyblivé jadro (ferit)
4 - mechanická kostra

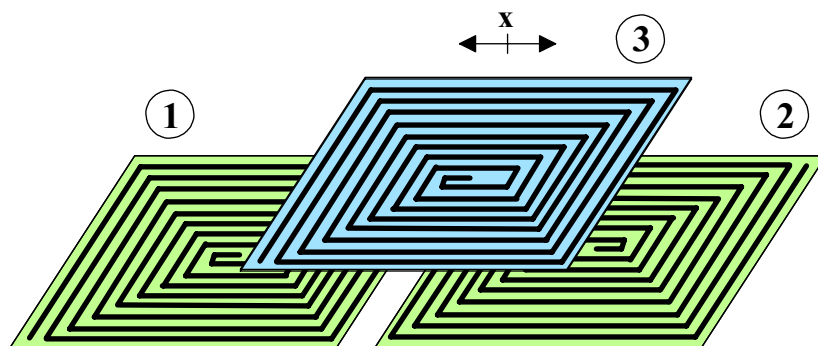
Obr.67.

Systémy s potlačeným polom - jadro z elektricky vodivého materiálu (vírivé prúdy)

Systémy bez feromagnetika - neobsahujú jadro, len cievky. Sú málo používané.

Vinutie

- klasické, t.j. **navinutím Cu drôtu**. Napájanie harmonickým sínusovým signálom.
- **metódou plošných spojov**. Príklad je na obr.68.
- napájanie trojuholníkovým priebehom **prúdu**, $U_{výst}$ obdĺžnikový priebeh (derivácia vstupu)

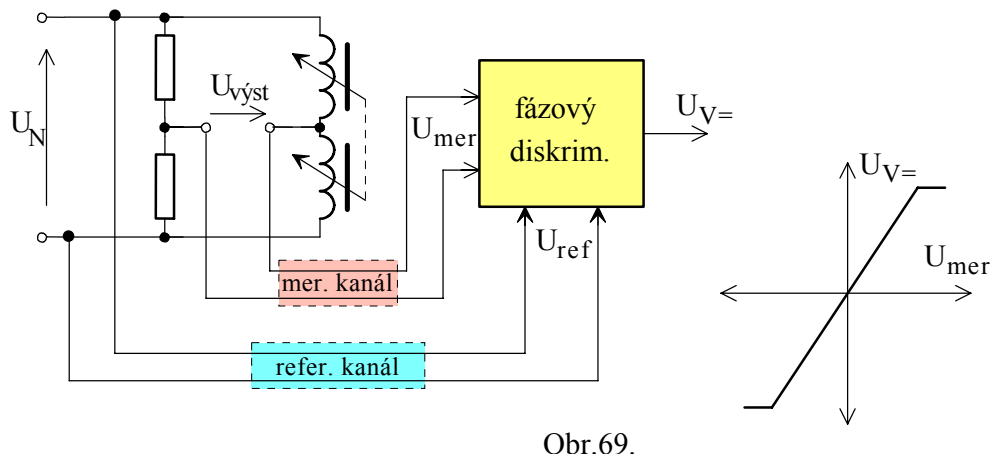


Obr.68.

7.2.4. Vyhodnotenie výstupného signálu

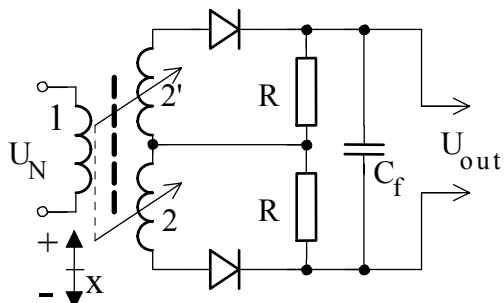
Fázový diskriminátor (obr. 69)

- výstup - napäťový signál
- fázový diskriminátor - zmysel odchýlky
- $U_{v=}$ je jednosmerné, nosná frekvencia z U_N je vyfiltrovaná
- Polarita - podľa fázy výst. napäťia (voči referenčnému - napájaciemu)



Obr.69.

Zapojenie s diódami je možné vtedy, ak máme 2 sekundárne vinutia. Princíp je na obr.70.



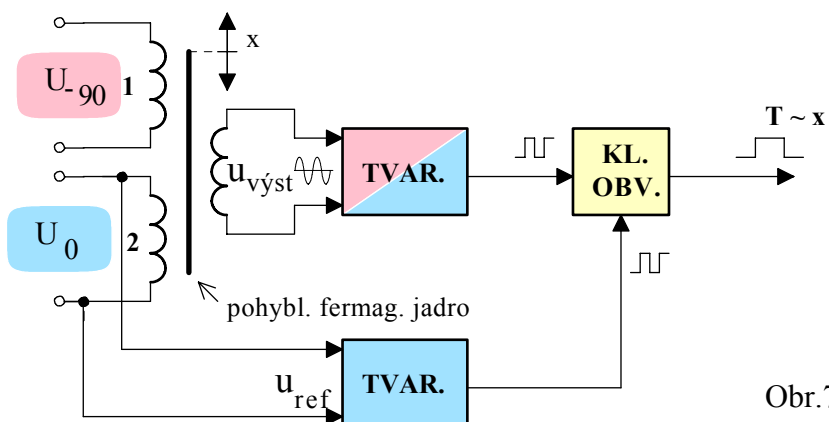
1 - primárne vinutie
2, 2' - sekundárne vinutia
 R a C_f tvoria filter
(časová konštantá)

Obr.70.

7.2.5. Fázový menič a rozkladač

Špeciálne typy transformátorových snímačov polohy.

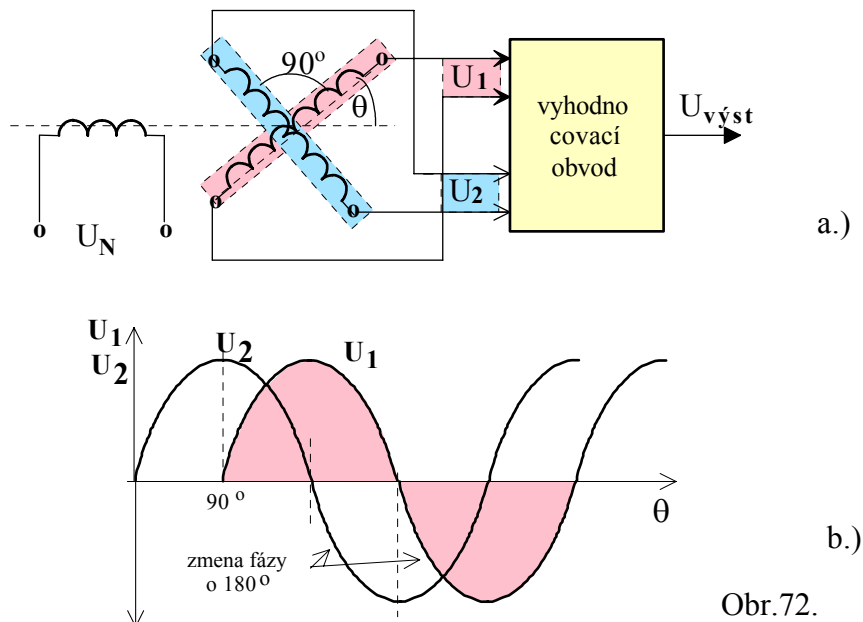
Fázový menič - zmena fázy výstupu voči referenčnému signálu (**amplitúda je nezaujímač**)



Obr.71.

Rozkladač, (alebo rezolver) je na principiálnej schéme obr.72. (otočný snímač)

- vyhodnocuje sa **velkosť amplitúdy** a vzájomná poloha zložiek
- dve vinutia navzájom priestorovo posunuté o 90°
- pri otáčaní máme sin a cos zložku amplitúdy
- vyhodnocovací obvod v integrovanej forme



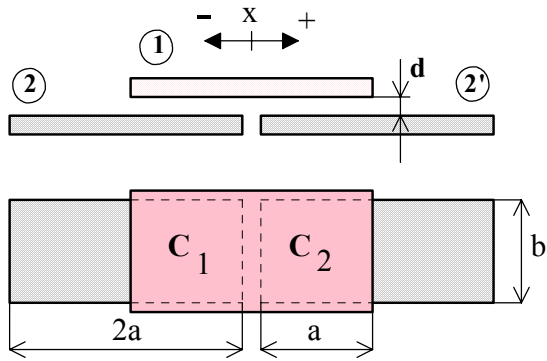
Obr.72.

Poznámka: Pojmy "fázový menič" a "rozkladač" sa často zamieňajú, skutočný princíp je dobré overiť si doplnkovými informáciami. Oba systémy sú často používané s dobrými výsledkami.

Selsyny - viacmenej už nepoužívané

7.3. Kapacitné systémy so zmenou S (plochy)

Snímač polohy pre väčšie vzdialenosť je na obr.73.



Obr.73.

- ak vyjadríme závislosť kapacít od posunu x
- systém pracuje v mostíku na obr. 74.

potom výstup je daný rovnicou :

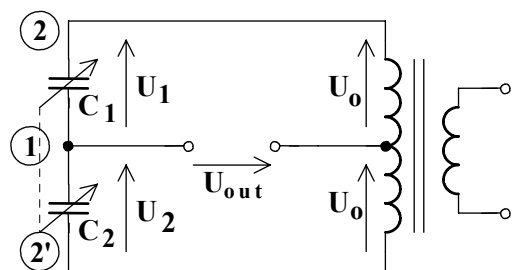
$$U_{vyst} = \frac{U_0}{a} x$$

7.3.1. Vyhodnotenie výstupného signálu

- ♦ malá základná kapacita → vysoká vnútorná impedancia

Základné spôsoby vyhodnotenia sú :

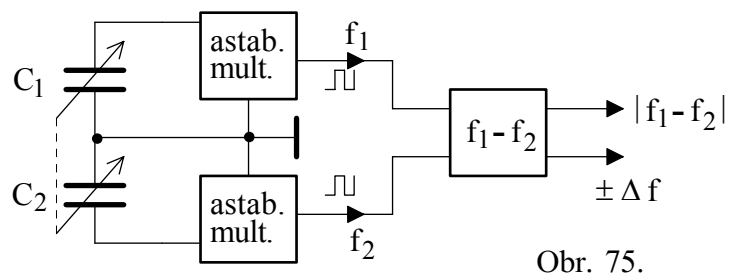
- amplitúdové :
 - v mostíku (amplitúda a fáza - fáz. diskr.)
 - rezonančné (cvičenia)
 - PWM modulácia (cvičenia)
- frekvenčné - harmonický, alebo obdlžnikový výstup
- fázové - fáza medzi výstupným a referenčným napäťom



Obr. 74.

Frekvenčný výstup

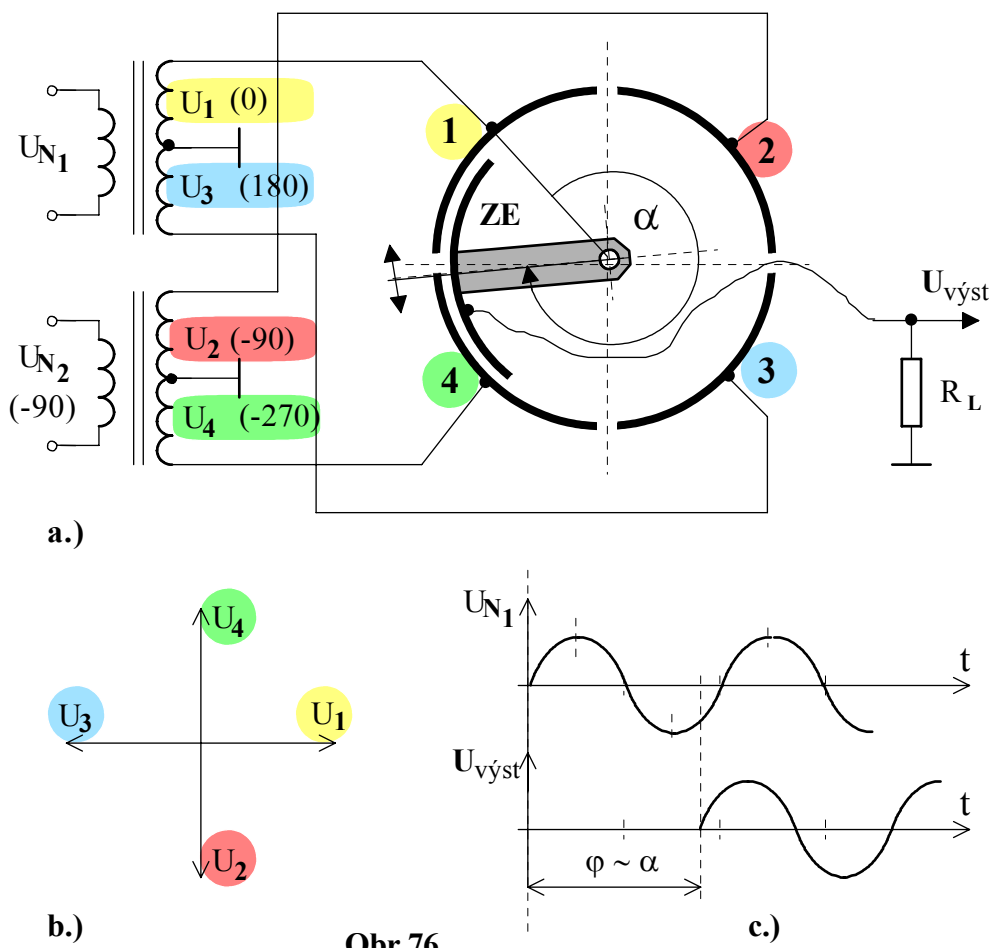
- ♦ C_x je časť oscilátora (sínus, obdlžník)
- ♦ zapojenie diferenciálne - dva viazané systémy
- ♦ výstup je rozdiel frekvencií a znamienko zmyslu pohybu.



Obr. 75.

Fázový výstup

Príklad rotačného systému je na obr. 76. Obsahuje 4 pevné elektródy a jednu otáčavú, zbernú elektródu ZE.



Obr.76.

- porovnáva sa fáza výstupu s referenčným napäťím, tuná U_{N_1}
- dve základné napájacie napätia U_{N_1} a U_{N_2} , fázovo posunuté o 90°
- pomocou transformátora ďalšie dve napätia (posunuté o 180°)

- fáza φ závisí od polohy a mení sa medzi $0 \div 360^\circ$

Kapacitné prúdy medzi ZE a pevnými elektródami tečú do R_L , čím vznikne $U_{výst.}$. Jeho veľkosť musí byť iba v určitých medziach, informáciu nenesie.